

**Original article**

## **Effect of Operating Parameters on the Active Chlorine Production in Bipolar Electrochlorination Cell with Titanium and Platinum/Titanium Anode Electrodes using Box-Behnken Method**

Samaneh Dehghan<sup>1</sup>  
Yousef Dadban Shahamat<sup>2\*</sup>  
Fariba Ziarati<sup>3</sup>

- 1- Assistant Professor, Department of Environmental Health, Faculty of Health, Mazandaran University of Medical Sciences, Sari, Iran
- 2- Associate Professor, Environmental Health Research Center, Department of Environmental Health Engineering, Faculty of Health, Golestan University of Medical Sciences, Gorgan, Iran
- 3- BSc student of Environmental Health Engineering, Department of Environmental Health Engineering, Faculty of Health, Golestan University of Medical Sciences, Gorgan, Iran

**\*Corresponding author:** Yousef Dadban Shahamat, Environmental Health Research Center, Department of Environmental Health Engineering, Faculty of Health, Golestan University of Medical Sciences, Gorgan, Iran

**Email:** dr.udadban@goums.ac.ir

**Received:** 30 November 2021

**Accepted:** 06 February 2022

### **ABSTRACT**

**Introduction and purpose:** Today, chlorine and its compounds are the most popular elements employed for disinfecting water and wastewater due to their flexibility, cost-efficiency, and ease of use. This research aimed to optimally produce active chlorine by the electrochlorination method using titanium and platinum/titanium electrodes.

**Methods:** This experimental study was conducted in a batch flow of an electro-chlorination cell. The experimental design was performed using the Box Behnken method with a sample size of 34 experiments. The production of active chlorine was evaluated and compared on various operating factors, including current density (10-60 A/dm<sup>2</sup>), sodium chloride concentration (50-250 g/L), reaction time (5-120 min), and two types of anode electrodes of titanium and platinum/titanium and 316 cathode steel.

**Results:** The results showed all four operating parameters had a significant effect on the active chlorine production and the highest effectiveness was related to electrolysis time, followed by current density, sodium chloride concentration, and anode electrode in descending order. The optimal operating conditions provided by the model for chlorine production included the electrolysis time of 120 min, current density of 60 A/dm<sup>2</sup>, concentration of sodium chloride of 187 g/L, and type of platinum/titanium anode electrode and 316 cathode steel electrode, which resulted in active chlorine of 65.95 g/L.

**Conclusion:** This method can be used as an effective method to produce chlorine to disinfect water and wastewater in treatment plants, and if replaced with gas chlorination systems, the safety problems of chlorine gas capsules will be solved.

**Keywords:** Anode electrode, Bipolar, Box Behnken design, Electrochlorination, Water

► **Citation:** Dehghan S, Dadban Shahamat Y, Ziarati F. Effect of Operating Parameters on the Active Chlorine Production in Bipolar Electrochlorination Cell with Titanium and Platinum/Titanium Anode Electrodes Using Box-Behnken Method. Journal of Health Research in Community. Spring 2022;8(1): 1-15.

## مقاله پژوهشی

## بررسی تأثیر پارامترهای بهره‌برداری بر فرایند تولید کلر فعال در سلول الکترو-کلریناسیون با چینش دوقطبی الکترودهای تیتانیوم و پلاتین/تیتانیوم به روش طراحی باکس بنکن

## چکیده

**مقدمه و هدف:** امروزه استفاده از کلر و ترکیبات آن از نظر سهولت کاربری، انعطاف‌پذیری و هزینه کم محبوبیت زیادی در فرایند گندزدایی آب و پساب دارد. هدف از این تحقیق تولید بهینه کلر به روش الکترو-کلریناسیون با استفاده از الکترودهای تیتانیوم و پلاتین/تیتانیوم است.

**روش کار:** مطالعه حاضر یک مطالعه تجربی است که در یک سلول الکترو-کلریناسیون با جریان منقطع انجام شد. طراحی آزمایش به روش باکس بنکن با حجم نمونه ۳۴ آزمایش انجام شد. فاکتور بهره‌برداری شامل دانسته جریان (۱۰-۶۰ آمپر بر دسی متر مریع)، غلظت کلرید سدیم (۵۰-۲۵۰ گرم بر لیتر)، زمان واکنش (۱۲۰-۵ دقیقه) و نوع جنس الکترود آند تیتانیوم و پلاتین/تیتانیوم و کاتد استیل ۳۱۶ بر راندمان تولید کلر فعال تولیدی بررسی و مقایسه شد.

**یافته‌ها:** نتایج نشان داد تأثیر هر چهار پارامتر بهره‌برداری بر فرایند تولید کلر فعال مؤثر و معنی دار بود و بیشترین تأثیر آن‌ها به ترتیب شامل زمان الکترولیز، دانسته جریان، غلظت کلرید سدیم و نوع الکترود آند است. شرایط بهینه بهره‌برداری ارائه شده در مدل برای تولید کلر شامل زمان الکترولیز ۱۲۰ دقیقه، دانسته جریان ۶۰ آمپر بر دسی متر مریع، غلظت کلرید سدیم ۱۸۷ گرم بر لیتر و نوع الکترود آند پلاتین/تیتانیوم و الکترود کاتد استیل ۳۱۶ است که مقدار کلر ۶۵/۹۵ گرم بر لیتر به دست آمد.

**نتیجه‌گیری:** این روش می‌تواند به عنوان روشی مؤثر برای تولید کلر به منظور گندزدایی آب و پساب در تصفیه خانه‌ها استفاده شود و در صورت جایگزینی با سیستم‌های کلرزنی گازی، مشکلات ایمنی کپسول‌های گاز کلرنیز مرتفع می‌شود.

**کلمات کلیدی:** آب، الکترو-کلریناسیون، الکترود آند، باکس بنکن، دو قطبی

سمانه دهقان<sup>۱</sup>

یوسف دادبان شهامت<sup>۲\*</sup>

فریبا زیارتی<sup>۳</sup>

۱. استادیار، گروه مهندسی پهداشت محیط، دانشکده پهداشت، دانشگاه علوم پزشکی مازندران، ساری، ایران
۲. دانشیار، مرکز تحقیقات پهداشت محیط، گروه مهندسی پهداشت، دانشگاه علوم پزشکی گلستان، گرگان، ایران
۳. دانشجوی کارشناسی، گروه مهندسی پهداشت محیط، دانشکده پهداشت، دانشگاه علوم پزشکی گلستان، گرگان، ایران

\* نویسنده مسئول: یوسف دادبان شهامت، گروه مهندسی پهداشت محیط، دانشکده پهداشت، دانشگاه علوم پزشکی گلستان، گرگان، ایران

Email: dr.udadban@goums.ac.ir

تاریخ دریافت: ۱۴۰۰/۰۹/۰۹

تاریخ پذیرش: ۱۴۰۰/۱۱/۱۷

## مقدمه

◀ استناد: دهقان، سمانه؛ دادبان شهامت، یوسف؛ زیارتی، فریبا. بررسی تأثیر پارامترهای بهره‌برداری بر فرایند تولید کلر فعال در سلول الکترو-کلریناسیون با چینش دوقطبی الکترودهای تیتانیوم و پلاتین/تیتانیوم به روش طراحی باکس بنکن. مجله تحقیقات سلامت در جامعه، بهار ۱۴۰۱؛ ۸(۱): ۱۵-۱.

محیط‌زیست در تخلیه پساب‌ها و مواد آلاینده به طبیعت، قوانین

با افزایش آگاهی جوامع از خطرات جران‌ناپذیر آلدگی

آن است [۷۸]. از آنجاکه نشت این گاز از کپسول‌های حاوی گاز بسیار خطرناک است و خطر مسمومیت گسترده و انفجار به همراه دارد، لذا روش استفاده از تولید کلر در محل با استفاده از الکتروکلریناسیون مورد توجه قرار گرفته است.

اخیراً مطالعات زیادی در خصوص استفاده از فرایندهای الکتروشیمیایی برای تصفیه آب و فاضلاب انجام شده است. در این راستا به طور خاص تحقیقاتی نیز در خصوص استفاده از انواع الکترودها برای کاربرد در سلول الکتروشیمیایی در گندزدایی و تجزیه ترکیبات آلی آب انجام شده است [۹-۱۲]. تحقیقات انجام شده در این زمینه نشان داده است میکروارگانیسم‌ها را می‌توان با الکتروشیمیایی یا از طریق گونه‌های شیمیایی بسیار فعال مانند رادیکال‌های آزاد و یون‌های دیگر ( $\text{OH}^-$ ,  $\text{O}_2^-$ ,  $\text{CL}^-$ ,  $\text{OCl}^-$ ) غیرفعال کرد. میدان‌های الکتریکی برای سلول‌ها مضر هستند، اما تحقیقات نشان داده‌اند مرگ با اختلال در دیواره سلولی رخ نمی‌دهد [۱۳, ۱۴].

همچنین بعضی از مطالعات نشان دادند غیرفعال‌سازی در درجه اول با توجه به خواص گندزدایی ترکیبات اکسیژن فعال تولیدشده در الکترودهاست. این ترکیبات اکسیژن به کاهش THM تشکیل محصولات جانبی گندزدایی ناخواسته مانند  $\text{CH}_3\text{Cl}$  کمک می‌کند که در طول گندزدایی با  $\text{d}^+$  کلر متداول تشکیل شده‌اند [۱۳]. غیرفعال‌سازی مستقیم شامل جذب الکتریکی باکتری‌ها در سطح الکترود و تخریب آن است، به طوریکه غیرفعال کردن باکتری‌ها و سلول‌های مخمر هم به وسیله الکتروشیمیایی مستند شده است [۱۵]. از مزایای دیگر این روش می‌توان به مصرف نشدن انرژی زیاد برای تولید گندزدا، پرتاپل بودن سیستم، کم حجم و مقرون به صرفه بودن برای کاربرد در اجتماعات کوچک و تک خانواری و در پکیج‌های تصفیه آب اشاره کرد. همچنین مشکلات کلرزنی متداول از قبیل انفجار و شارژ کپسول‌های گاز کلر، مسمومیت و نگهداری کلر به عنوان ماده خطرناک در محل نیز رفع می‌شود [۱۶, ۱۷].

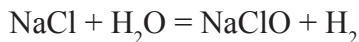
حفظت از محیط‌زیست در دو دهه اخیر بسیار جدی و سخت‌تر شده است [۱]. بر اساس برآورد سازمان جهانی بهداشت سالیانه ۱/۸ میلیون نفر در جهان و بیشتر در کشورهای در حال توسعه بر اثر بیماری‌های اسهالی می‌میرند [۲]. ازین‌رو، بزرگ‌ترین خطر برای سلامت انسان از طریق آب، آلدگی میکروبی منابع آب است [۳]. بسیاری از روش‌های گندزدایی فیزیکی مانند اسمز معکوس و روش‌های شیمیایی نظیر کلرزنی، پرتو فرابنفش و کاتالیزورهای مختلف برای ازین بردن میکروارگانیسم‌های بیماری‌زا از آب و پساب فاضلاب استفاده می‌شوند. روش‌های مذکور مشکلات بهداشتی نظیر تولید محصولات جانبی گندزدایی و همچنین مسائل فنی و اقتصادی به همراه دارند؛ برای مثال، روش ازن‌زنی مزایایی دارد، ولی مشکلاتی نیز در اثر واکنش ازن با برミد ایجاد می‌شود [۳, ۴]. همچنین ازن مصرفی به دلیل ناپایدار بودن باید در محل تولید شود. مصرف ازن با  $\text{d}^+$  کمتر ممکن است به طور مؤثر قادر به غیرفعال‌سازی بعضی از ویروس‌ها، هاگ‌ها و کیست‌ها نباشد و درنهایت گاز خروجی از تماس‌دهنده معمولاً حاوی ازن با غلظت بیش از ۱ گرم بر مترمکعب است که قبل از رها شدن به محیط باید ازین برود [۵]. همچنین روش گندزدایی با اشعه UV مزایای چون زمان تماس کوتاه دارد، ولی معایبی نیز دارد؛ مثلاً نیاز به تصفیه کامل آب قبل از استفاده از UV، ناتوانی در حذف طعم، بو و رنگ و عدم ایجاد باقیماندهای و نیاز به تجهیزات گران‌قیمت و انرژی الکتریکی زیاد است. در حالی که در این روش اسپورها، کیست‌ها و ویروس‌ها حساسیت کمتری دارند [۵].

به این ترتیب با افزایش شیوع بیماری‌های عفونی از طریق آب و مصارف مجدد پساب‌ها و گسترش میکروارگانیسم‌های بیماری‌زا مقاوم در برابر عوامل گندزدا، به استفاده از روش‌های نوین مؤثر و مقرون به صرفه برای گندزدایی آب و پساب نیاز است [۶]. در این این روش‌ها، محبوب‌ترین روش برای گندزدایی آب در تصفیه خانه‌های کشور از نظر سهولت کاربری، انعطاف‌پذیری و هزینه کم، استفاده از کلر و ترکیبات

معادله ۳:



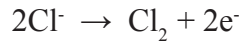
معادله ۴: تولید هیپوکلریت



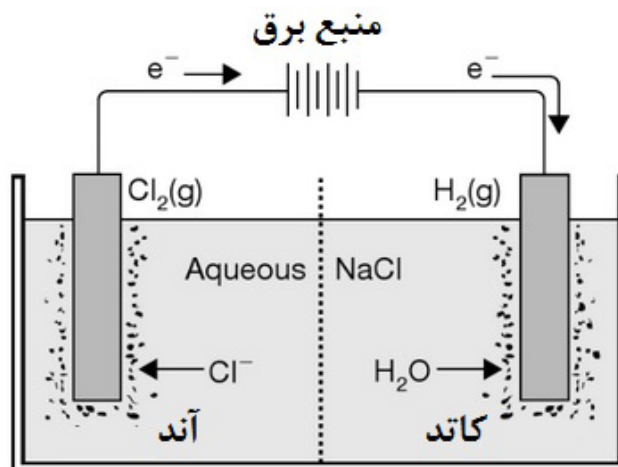
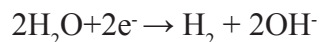
به طور اختصاصی‌تر، برای تولید محلول گندزدای حاوی کلرفعال انواع مختلفی از سلول‌های الکتروولیز از جمله غشایی و بدون غشا نوع تک‌قطبی و نوع دوقطبی استفاده می‌شود. در سلول غشایی یک غشای تعویض یونی در بین الکترودهای آند و کاتد قرار گرفته است. این غشا قادر است آنیون‌ها را از خود عبور دهد و آن‌ها را به سمت آند هدایت کند. در این سلول‌ها یون‌های کلرید به‌وسیله غشا به سمت آند می‌روند و یون‌های سدیم در سمت کاتد باقی می‌مانند [۲۲، ۲۳]. ساختار سل بدون غشا همانند سل غشایی است، با این تفاوت که در آن غشا وجود ندارد؛ بنابراین، یک ورودی آب و نمک و یک خروجی محصولات دارد. در این حالت محصولات سمت آند و کاتد با یکدیگر مخلوط هستند و از خروجی سل خارج می‌شوند. این نوع سلول می‌تواند در انواع تک‌قطبی و دوقطبی استفاده شود. در حالتی که سلول‌ها به صورت موازی چیده شده و اختلاف پتانسیل یکسان در هر جفت آند-کاتد داشته باشند، چینش تک‌قطبی است. جریان

به طور کلی در دنیا تحقیقات مختلف مستمری در خصوص تعیین شرایط بهینه بهره‌برداری از سنتز ستر و کاربرد انواع الکترودها، غلظت الکتروولیت، زمان واکنش، pH، دانسیته جریان، دمای راکتور سلول، فاصله الکترودها، نوع چینش آن‌ها و نسبت سطح آند به کاتد بر راندمان فرایندهای الکتروشیمیایی انجام شده است (۱۲، ۲۰-۱۸) که با سنتز الکترودهای جدید این اطلاعات کامل‌تر و به‌روزتر می‌شود. به طور کلی در ادبیات فنی به مجموع اسید هیپوکلرو و آنیون هیپوکلریت «کلر فعل» گفته می‌شود [۱۲، ۱۸-۲۰]. در این مطالعه نیز از این شاخص برای سنجش کلر تولیدی استفاده شده است. اساس عملکرد سلول الکتروکلریناسیون بر الکتروولیز کلرید سدیم و آب استوار است. در این فرایند مطابق شکل ۱، آنیون‌ها به سمت آند و کاتیون‌ها به سمت کاتد می‌روند و واکنش‌های مربوطه در ذیل انجام می‌شود [۲۱]: واکنش‌هایی که در آند اتفاق می‌افتد:

معادله ۱: تولید کلر آزاد در الکترولایزر واکنش‌هایی که در کاتد اتفاق می‌افتد:



معادله ۲: تولید یون‌هیدروژن در الکترولایزر واکنش‌های شیمیایی فرایند:



شکل ۱. یک سلول الکتروکلرلایزر

این مطالعه بررسی ساخت سلول‌کتروکلریناسیون با الکترودهای مختلف و تعیین تأثیر پارامترهای مختلف مؤثر بر بهره‌برداری در راکتور با چینش دوقطبی به روش طراحی آزمایش‌های باکس بنکن است.

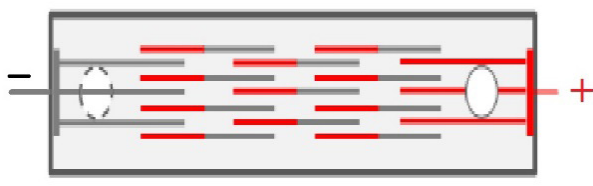
## روش کار

مطالعه حاضر یک مطالعه تجربی با رویکرد کاربردی است که در یک راکتور با جریان منقطع در آزمایشگاه آب و فاضلاب دانشکده بهداشت دانشگاه علوم پزشکی گلستان انجام شد. در این مطالعه در مرحله اول به منظور تعیین شرایط بهینه پارامترهای بهره‌برداری بر تولید کلر فعال، راکتور با چینش دوقطبی الکترود به حجم ۵۰۰ سی سی طراحی و مطابق شکل ۲ ساخته شد.

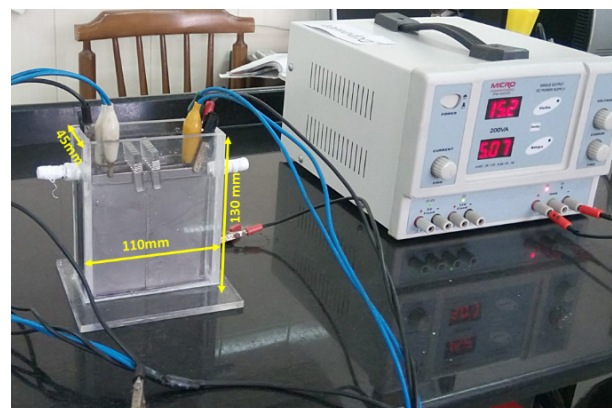
### مواد شیمیایی استفاده شده

تمام مواد و محلول‌های شیمیایی استفاده شده در این پژوهش شامل یدید پتاسیم، کلرید سدیم، اسید سولفوریک، هیدروکسید سدیم و تیوسولفات سدیم درجه خلوص آزمایشگاهی داشتند و از شرکت مرک تهیه شدند. الکترودهای استیل ۳۱۶ و تیتانیوم

کل سلول برابر جمع جریان هر جفت الکترود و ولتاژ برابر ولتاژ یک جفت الکترود است. در صورتی که در چینش دوقطبی، فقط الکترود اول و آخر به جریان برق متصل می‌شوند. قطب الکترودهای دیگر متضاد قطبی است که در مقابل آنهاست و ولتاژ هر جفت الکترود، بخشی از کل ولتاژ سلول است [۲۲، ۲۳]. الکترود پلاتین در برابر انحلال مقاومت دارد؛ نه تنها به دلیل جایگاه خود در سری گالوانیکی به عنوان یک فلز نجیب، بلکه به دلیل آن که یک سطح نازک رسانا را تشکیل می‌دهد. سرعت انحلال آند پلاتین در آب شور بسیار کم است. قیمت زیاد پلاتین در ترکیب با نرخ بسیار کم آن در پوشش منجر به آن شده است که در درجه اول به عنوان یک فیلم نازک آبکاری روی فلزات ارزان‌تر استفاده شود. پلاتین معمولاً بیشتر به فلز بستر با آبکاری پوشش داده می‌شود. این لایه‌های نازک پلاتین سبب افزایش عمر عملیاتی می‌شوند [۲۴]. لذا در این تحقیق با پوشش روی الکترود تیتانیوم به عنوان آند استفاده شد. در این مطالعه با توجه به انحصاری بودن ساخت انواع سلول‌ها و الکترودهای مخصوص تولید کلر و سایر گندزداهای انجام تحقیقات جامع در کشور مورد نیاز است. لذا نیاز است مطالعات جامعی در خصوص الکترود، مدل‌سازی و تعیین شرایط بهینه تحقیق و ساخت آن انجام شود. هدف از انجام



ب



الف

شکل ۲. (الف) نمای پایلوت راکتور سلول الکتروکلریناتور؛ (ب) نحوه چینش دوقطبی الکترودها در سلول

(design: BBD) یکی از روش‌های متداول در روش‌های سطح-پاسخ است که بر مدل توان دومی سه سطحی قابل چرخش مبتنی است. این کار با نرم‌افزار Design Expert نسخه ۱۱ و تجزیه و تحلیل آماری داده با استفاده از آزمون تحلیل واریانس (ANOVA) تعریف شده در مدل انجام شد. در این طراحی از چهار فاکتور بهره‌برداری شامل دانسته جریان (۰-۶۰ آمپر بر دسی‌متر مربع)، غلظت کلرید سدیم (۵۰-۲۵۰ گرم بر لیتر)، زمان واکنش (۵-۱۲۰ دقیقه) و دو نوع جنس الکترود آند (تیتانیوم و پلاتین/تیتانیوم) بر راندمان تولید کلر فعال تولیدی بررسی و مقایسه شد. ماتریکس پارامترها (Xi) روی پاسخ (Y) یا تولید کلر در جدول ۲ نشان داده شده است.

پس از اعمال شرایط مختلف بهره‌برداری متغیرهای مستقل در زمان‌های خواسته شده توسط مدل نسبت به نمونه‌برداری از راکتور DPD اقدام شد و کلر فعال آن از روش رنگ‌سنگی با معرف (N, N'-diethyl-p-phenylenediamine) موجود در کتاب استاندارد مت استفاده شد؛ سپس با اجرای مدل در نرم‌افزار شرایط بهینه بهره‌برداری و گراف‌های مربوط به آن بر پایه اهداف مدنظر استخراج شد [۲۶].

مطابق فرمول  $N = k(k-1) + C_0$  ، تعداد کل ۳۴ آزمایش

جدول ۲: دامنه و کدهای مربوط به متغیرهای مستقل (Xi) و پاسخ (Y) استفاده شده در طراحی آزمایش باکس بنکن

پارامترهای بهره‌برداری	کد	واحد	حد پایین (-1)	حد متوسط (0)	حد بالا (+1)
دانسته جریان مربع	X <sub>۱</sub>	آمپر بر دسی‌متر	۱۰	۳۵	۶۰
غلظت الکترولیت	X <sub>۲</sub>	گرم بر لیتر	۵۰	۱۵۰	۲۵۰
زمان واکنش	X <sub>۳</sub>	دقیقه	۵	۶۲/۵	۱۲۰
نوبت هر آزمایش	X <sub>۴</sub>	نوبت هر آزمایش	-	تیتانیوم/پلاتین	تیتانیوم
مقدار کلر فعال تولید شده در نوبت هر آزمایش	Y	گرم بر لیتر			

استفاده شده نیز با درصد خلوص ۹۹ درصد ساخت کشور روسیه از شرکت آلیاژهای صنعتی تهیه شد که ساختار شیمیایی آن در جدول ۱ نشان داده شده است.

### مشخصات راکتور

به منظور ساخت بدنه اصلی راکتور از ورقه‌های پلکسی در ضخامت ۰/۵ سانتی‌متر استفاده شد. حجم مفید راکتور با ابعاد طول×عرض×ارتفاع به ترتیب ۱۱۰×۴۵×۱۳۰ میلی‌متر، ۵۰۰ میلی‌لیتر به دست آمد که در آن الکترودها با ابعاد ۱۰۰×۳۰ میلی‌متر در چهار ردیف و به فاصله ۰/۵ سانتی‌متر از یکدیگر مطابق شکل ۲ مستقر شدند. منبع تغذیه برق مستقیم (DC) بود که از ترانس مبدل مدل میکرو PW۴۰۵۱۹ ساخت ایران استفاده شد.

در این تحقیق از دو نوع الکترود تیتانیوم و پلاتین پوشش شده روی تیتانیوم ساخته شده به روش ترسیب آبکاری با استفاده از اسید کلروپلاتینیک به عنوان آند استفاده شد [۲۴، ۲۵]. در هر دو حالت از الکترود استیل ۳۱۶ به عنوان کاتد استفاده شد.

### انجام آزمایش‌ها به روش باکس بنکن

انجام آزمایش به روش باکس بنکن (Box-Behnken)

جدول ۱: مشخصات ترکیب عناصر الکترودهای استفاده شده در سلول الکترولیز

نوع عناصر شیمیایی الکترود	استیل ۳۱۶		نوع الکترود
	درصد عناصر	تیتانیوم	
Fe	۶۹/۵	-	
Ni	۱۰/۴۶	۰/۰۳	
MO	۲/۰۹	-	
Mn	۱/۰۱	-	
Cr	۱۶/۶۵	-	
Ti	-	۹۹/۱۴	
Si	-	۰/۲۱	
درصد خلوص	۹۹/۷۱	۹۹/۳۸	

خطی بین فاکتورهای  $x_i$  و  $x_j$  است [۲۸].

### یافته‌ها

آزمایش‌های الکتروکلریناسیون در راستای تولید کلر فعال در این مطالعه آزمایش همراه با پاسخ‌ها با طراحی BBD در جدول ۳ نشان داده شده است. نتایج نشان داد تولید کلر فعال از ۲ تا ۶۸ گرم بر لیتر متغیر بود.

که دارای ۵ آزمایش تکراری برای نقطه مرکزی است، تعیین شد. در این فرمول  $k$  تعداد فاکتورها و  $C_0$  نقاط مرکزی است و مدل درجه دوم طراحی باکس بنکن با معادله ۵ تعریف می‌شود (۲۷).

معادله ۵:

$$Y = \beta_0 + \sum \beta_i x_i + \sum \beta_{ii} x_{ii}^2 + \sum \beta_{ij} x_i x_j + \varepsilon$$

در این معادله  $\beta_0$ : مقدار ثابت؛  $\beta_i$ : شبیب یا اثر خطی فاکتور  $x_i$ ؛  $\beta_{ii}$ : اثر درجه دوم فاکتور  $x_i$  و  $\beta_{ij}$ : اثر برهم کنش خطی به

جدول ۳: طراحی آزمایش فرایند با استفاده از طرح BBD به همراه پاسخ تولید کلر فعال

(Y) کلر فعال تولیدی پیش‌بینی	(D) نوع آند	گرم بر لیتر	(C) زمان الکترولیز	(B) غلاظت NaCl	(A) دانسیته جریان	نیاز آب	(Y) کلر فعال تولیدی پیش‌بینی		(D) نوع آند	گرم بر لیتر	(C) زمان الکترولیز	(B) غلاظت NaCl	(A) دانسیته جریان	نیاز آب
							واقعی	دقیقه						
۹/۴	۱۰	Ti/Pt	۶۲/۵	۵۰	۱۰	۱۸	۶/۷	۵	Ti	۶۲/۵	۵۰	۱۰	۱	
۲۳/۱	۲۲	Ti/Pt	۶۲/۵	۵۰	۶۰	۱۹	۱۶/۲	۱۵	Ti	۶۲/۵	۵۰	۶۰	۲	
۱۴/۶	۱۶	Ti/Pt	۶۲/۵	۲۵۰	۱۰	۲۰	۱۰/۱	۱۱	Ti	۶۲/۵	۲۵۰	۱۰	۳	
۳۴/۹	۴۰	Ti/Pt	۶۲/۵	۲۵۰	۶۰	۲۱	۳۰/۶	۳۱	Ti	۶۲/۵	۲۵۰	۶۰	۴	
۱۹/۳	۱۵	Ti/Pt	۵	۱۵۰	۱۰	۲۲	۱۹/۲	۱۶	Ti	۵	۱۵۰	۱۰	۵	
۲۳/۳	۲۰	Ti/Pt	۵	۱۵۰	۶۰	۲۳	۱۹/۰	۱۶	Ti	۵	۱۵۰	۶۰	۶	
۲۹/۴	۳۲	Ti/Pt	۱۲۰	۱۵۰	۱۰	۲۴	۲۲/۳	۲۶	Ti	۱۲۰	۱۵۰	۱۰	۷	
۶۳/۹	۶۸	Ti/Pt	۱۲۰	۱۵۰	۶۰	۲۵	۵۲/۵	۵۶	Ti	۱۲۰	۱۵۰	۶۰	۸	
-۱/۳	۲/۲	Ti/Pt	۵	۵۰	۳۵	۲۶	-۲/۶	۲/۵	Ti	۵	۵۰	۳۵	۹	
۴/۱	۷/۲	Ti/Pt	۵	۲۵۰	۳۵	۲۷	۱/۰	۳/۲	Ti	۵	۲۵۰	۳۵	۱۰	
۱۸/۸	۱۶	Ti/Pt	۱۲۰	۵۰	۳۵	۲۸	۱۰/۴	۸	Ti	۱۲۰	۵۰	۳۵	۱۱	
۳۴/۹	۳۰	Ti/Pt	۱۲۰	۲۵۰	۳۵	۲۹	۲۴/۷	۲۱	Ti	۱۲۰	۲۵۰	۳۵	۱۲	
۳۰/۹	۳۱	Ti/Pt	۶۲/۵	۱۵۰	۳۵	۳۰	۲۵/۱	۲۵	Ti	۶۲/۵	۱۵۰	۳۵	۱۳	
۳۰/۹	۳۱	Ti/Pt	۶۲/۵	۱۵۰	۳۵	۳۱	۲۵/۱	۲۵	Ti	۶۲/۵	۱۵۰	۳۵	۱۴	
۳۰/۹	۳۱	Ti/Pt	۶۲/۵	۱۵۰	۳۵	۳۲	۲۵/۱	۲۵	Ti	۶۲/۵	۱۵۰	۳۵	۱۵	
۳۰/۹	۳۱	Ti/Pt	۶۲/۵	۱۵۰	۳۵	۳۳	۲۵/۱	۲۵	Ti	۶۲/۵	۱۵۰	۳۵	۱۶	
۳۰/۹	۳۱	Ti/Pt	۶۲/۵	۱۵۰	۳۵	۳۴	۲۵/۱	۲۵	Ti	۶۲/۵	۱۵۰	۳۵	۱۷	

در حالی است که برهم کنش بین این پارامترها (از جمله  $AC$ ,  $AB$ ,  $BC$ ,  $CD$ ) و توان دوم این پارامترها (از جمله  $A^2$ ,  $B^2$ ) نیز معنی دار است ( $P < 0.05$ ). مطابق نتایج ارائه شده در جدول ۴، در مدل انتخابی تولید کلر فعال مقدار  $R^2$  معادل  $0.968$  تنظیم شده با  $Adeq$  مقدار  $0.948$  و همچنین  $R^2$  پیش‌بینی شده  $0.850$  است. مقدار Precision، نسبت سیگال به نویز را اندازه‌گیری می‌کند که در این تحلیل  $32/0.5$  است. با کاربرد این مدل برای ترسیم فضای طرح تحلیل  $32/0.5$  است.

نتایج تحلیل واریانس یک‌طرفه و اعتبارسنجی مدل آماری تحلیل واریانس روند تولید کلر فعال سطح معنی داری تأثیر پارامترهای اصلی و برهم کنش‌های آنها و همچنین ضرایب آماری برازش مدل درجه دوم باکس بنکن در جدول ۴ نشان داده شده است. نتایج آنوازا نشان می‌دهد تأثیر هر چهار پارامتر زمان الکترولیز، دانسیته جریان، غلظت کلرید سدیم و نوع الکترود بر فرایند تولید کلر فعال مؤثر و معنی دار است ( $P < 0.0001$ ). این

جدول ۴: تحلیل واریانس روند تولید کلر فعال و ضرایب آماری برازش مدل درجه دوم باکس بنکن

پارامترها	مجموع مربعات	درجه آزادی	میانگین مربعات	آماره فیشر	p
مدل	۵/۶۴۲۶	۱۳	۴۹۴/۳۴	۴۷/۲۶	< .0001
A- دانسیته جریان	۱۱۷۳/۱	۱	۱۱۷۳/۰۶	۱۱۲/۱۴	< .0001
B-NaCl غلظت	۳۸۷/۱۱	۱	۳۸۷/۱۱	۳۷/۰۰	< .0001
C- زمان	۱۹۱۱/۹	۱	۱۹۱۱/۸۸	۱۸۲/۷۶	< .0001
D- نوع آند	۲۸۰/۷۴	۱	۲۸۰/۷۴	۲۶/۸۴	< .0001
AB	۶۰/۵۰	۱	۶۰/۵۰	۵/۷۸	.0/۰۲۶
AC	۴۶۵/۱۳	۱	۴۶۵/۱۳	۴۴/۴۶	< .0001
AD	۱۸/۰۶	۱	۱۸/۰۶	۱/۷۳	.0/۰۰۳۷
BC	۵۶/۷۱	۱	۵۶/۷۱	۵/۴۲	.0/۰۳۰۵
BD	۳/۳۳	۱	۳/۳۳	۰/۳۲	.0/۵۷۸۹
CD	۵۰/۰۶	۱	۵۰/۰۶	۴/۷۸	.0/۰۴۰۸
A <sup>2</sup>	۲۳۷/۱	۱	۲۳۷/۱۱	۲۲/۶۷	< .0001
B <sup>2</sup>	۱۷۸۴/۳	۱	۱۷۸۴/۲۹	۱۷۰/۵۶	< .0001
C <sup>2</sup>	۴۰/۰۷	۱	۴۰/۰۷	۳/۸۳	.0/۰۶۴۴
Residual	۲۰.۹/۲۲	۲۰	۱۰/۴۶		
Lack of Fit	۲۰.۹/۲۲	۱۲	۱۷/۴۴		
Pure Error	.	۸	.		
Cor Total	۶۶۳۵/۷	۳۳			
R <sup>2</sup>	.0/۹۶۸		Std. Dev.	۳/۲۳	
Adj. R <sup>2</sup>	.0/۹۴۸		Mean	۲۲/۶۲	
Predic. R <sup>2</sup>	.0/۸۵۸		C.V. %	۱۴/۳۰	
Adeq Preci.	۳۲/۰۵				

سطح معنی داری  $P < 0.05$  است.

کلرید سدیم و نوع الکترود آند است.

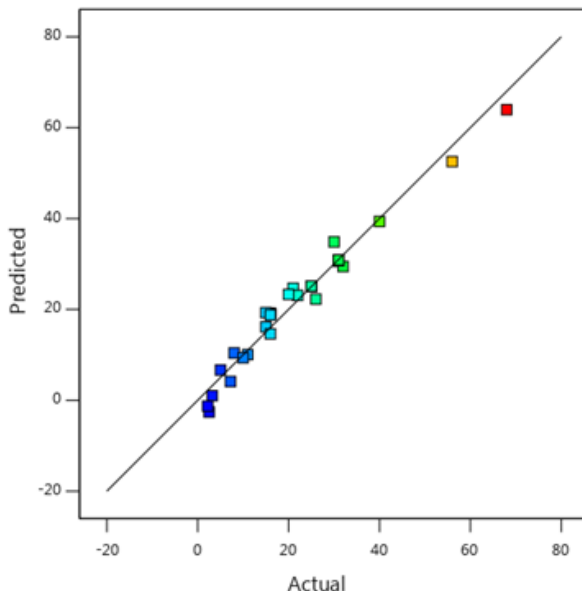
#### تأثیر پارامترهای بهره‌برداری بر فرایند تولید کلر فعال

##### اثر دانسیته جریان

با توجه به نتایج نشان داده شده در جدول ۳، در شرایط میانگین سایر پارامترها با افزایش چگالی جریان در الکترود آندی تیتانیوم از ۱۰ به ۶۰ آمپر بر دسی‌متر مربع، مقدار تولید کلر نیز  $2/2$  برابر افزایش یافت. این در حالی بود که در الکترود آندی پلاتین/تیتانیوم این افزایش  $2/1$  برابر است. به طوری که تأثیر این پارامتر در جدول تحلیل واریانس یک طرفه (جدول ۴) نیز معنی‌دار گزارش شده است. نتایج شکل ۵ نشان‌دهنده تأثیر مقدار دانسیته جریان و غلظت الکتروولیت نمک طعام بر مقدار تولید کلر فعال است.

##### اثر غلظت اولیه الکتروولیت نمک طعام

تأثیر این پارامتر در جدول تحلیل واریانس یک طرفه (جدول ۴) معنی‌دار گزارش شده است. این رابطه مستقیم بین این پارامتر و

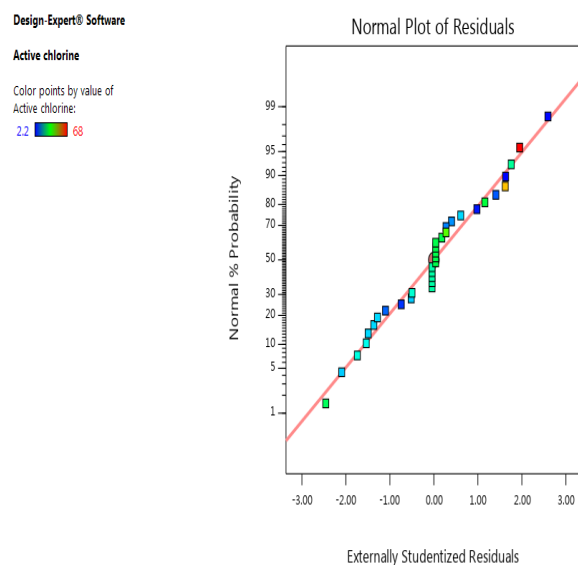


شکل ۴: همبستگی خطی بین مقدار واقعی و پیش‌بینی مدل در تولید کلر فعال

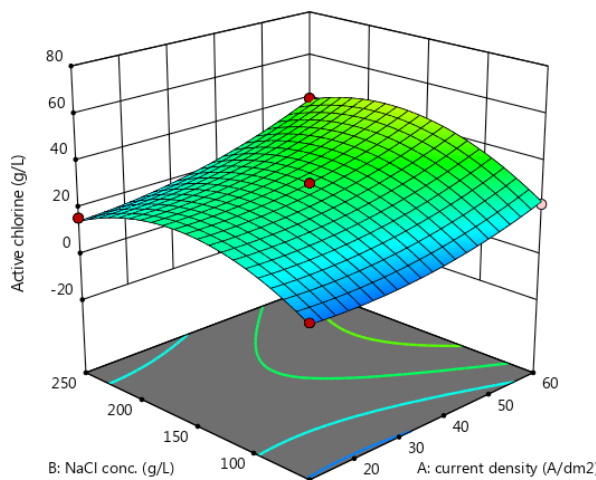
معادله رگرسیونی درجه دوم فرایند برای تولید کلر فعال به ازای هر دو نوع الکترود آند تیتانیوم و پلاتین/تیتانیوم مطابق با جدول ۵ به دست آمد.

شکل ۳ توزیع نرمال باقی‌مانده‌های استاندارد را برای استخراج اولیه تحلیل‌ها نشان می‌دهد. باقی‌مانده‌ها یک توزیع نرمال را دنبال می‌کنند و نقاط به دنبال یک خط مستقیم هستند که نشان‌دهنده این است که مدل‌ها و داده‌های تجربی معتبر و قابل اعتماد هستند و از توزیع نرمال تعیت می‌کنند.

همان‌طور که در شکل ۴ نشان داده شده است، مقادیر واقعی پاسخ داده‌های تجربی برای یک اجرای خاص و مقادیر پاسخ پیش‌بینی شده با توابع تقریبی تقریباً یکسان هستند و مقادیر پیش‌بینی شده با مقادیر تجربی مشابه است که نشان‌دهنده اعتبار بالای مدل و تناسب آن با داده‌های آزمایشی است. مقدار F موجود در آزمون آنووای موجود در جدول ۴ و همچنین ضریب فرمول تولید کار فعال ارائه شده در جدول ۵ نشان می‌دهد بیشترین تأثیر پارامترهای بهره‌برداری بر میزان تولید کلر به ترتیب شامل زمان الکتروولیز، دانسیته جریان، غلظت



شکل ۳: توزیع نرمال باقی‌مانده‌های استاندارد در تولید کلر فعال

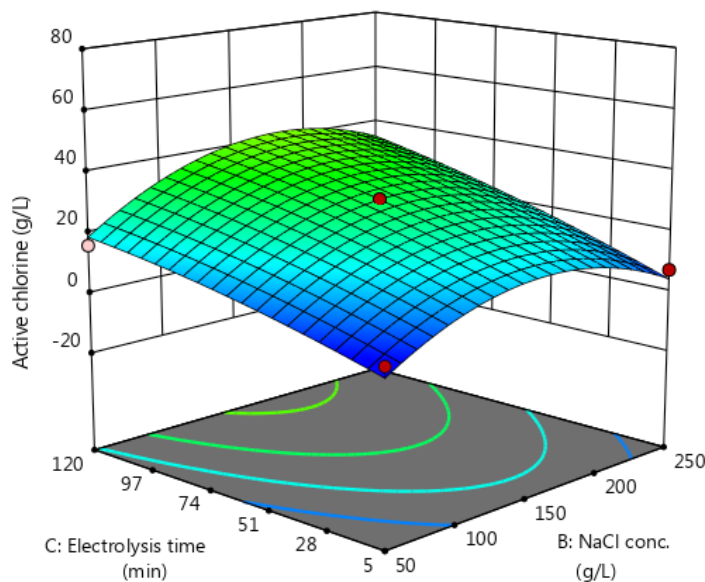


شکل ۵: تأثیر دانسیته جریان و غلظت الکتروولیت نمک طعام بر مقدار تولید کلر فعال؛ الکترود آند پلاتین/تیتانیوم، زمان ۶۲/۵ دقیقه و کاتد استیل ۳۱۶

نیز ۲/۶ برابر افزایش یافت. این در حالی بود که در الکترود آندی پلاتین/تیتانیوم این افزایش ۱/۸ برابر است. شکل ۶ نشان دهنده تأثیر مقدار زمان فرایند الکتروولیز و غلظت الکتروولیت نمک طعام بر مقدار تولید کلر فعال است.

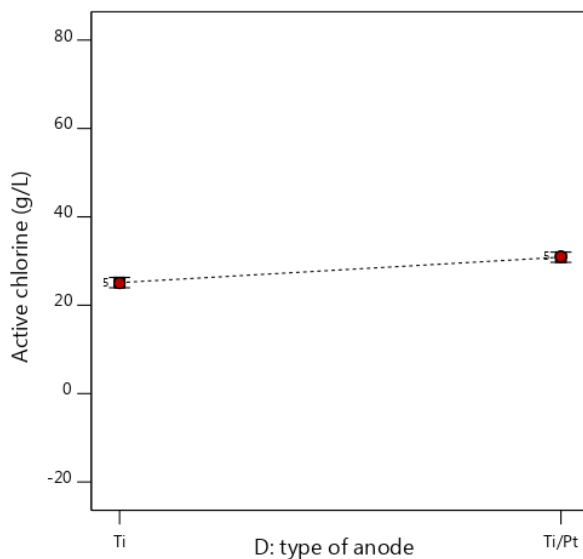
جدول ۵: معادله مدل تولید کلر فعال به ازای هر دو نوع الکترود آند

الکترود آند تیتانیوم	الکترود آند پلاتین/تیتانیوم	مقدار کلر فعال (گرم بر لیتر)
-۷/۶۷۷	-۵/۲۴	
دانسیته جریان	-۰/۷۰۶	دانسیته جریان
NaCl غلظت	۰/۴۲۳	NaCl غلظت
زمان	۰/۰۴۸	زمان
دانسیته جریان * NaCl غلظت	۰/۰۰۱	دانسیته جریان * NaCl غلظت
دانسیته جریان * زمان	۰/۰۰۵	دانسیته جریان * زمان
NaCl غلظت * زمان	۰/۰۰۵	NaCl غلظت * زمان
دانسیته جریان <sup>۲</sup>	۰/۰۰۸	دانسیته جریان <sup>۲</sup>
NaCl غلظت <sup>۲</sup>	-۰/۰۰۱	NaCl غلظت <sup>۲</sup>



شکل ۶: تأثیر زمان فرایند الکتروولیز و غلظت الکتروولیت نمک طعام بر مقدار تولید کلر فعال؛ الکترود آند پلاتین/تیتانیوم، دانسیته جریان ۳۵ آمپر بر دسی متر مربع و کاتد استیل ۳۱۶

راندمان فرایند الکتروشیمیایی در سایر مطالعات نیز به دست آمده است [۱۲]. با توجه به نتایج نشان داده شده در جدول ۳، در شرایط میانگین سایر پارامترها با افزایش غلظت الکتروولیت نمک طعام در الکترود آندی تیتانیوم از ۵۰ به ۲۵۰ گرم بر لیتر، مقدار تولید کلر



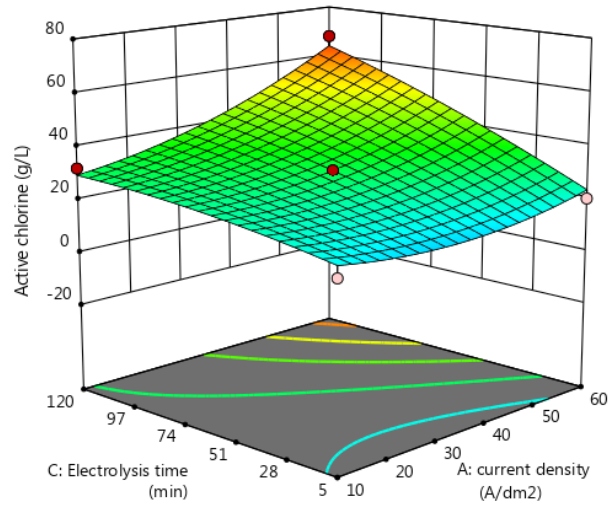
شکل ۸: مقایسه مقدار کلر فعال تولیدی دوالکترود آندی تیتانیوم و پلاتین/تیتانیوم در شرایط نقطه مرکزی؛ دانسیته جریان ۳۵ آمپر بر دسی متر مربع، غلظت کلرید سدیم ۱۵۰ گرم بر لیتر و زمان فرایند ۶۲ دقیقه

الکترودهای آندی پلاتین/تیتانیوم با ۳۱ گرم بر لیتر راندمان بیشتری (حدود ۶ درصد) نسبت به الکترودهای آندی تیتانیومی با مقدار کلر فعال ۲۵ گرم بر لیتر نشان دادند.

تعیین شرایط بهینه در تولید الکتروشیمیایی کلر فعال با توجه به نتایج، شرایط بهینه بهره‌برداری ارائه شده با مدل برای تولید کلر شامل زمان الکترولیز ۱۲۰ دقیقه، دانسیته جریان ۶۰ آمپر بر دسی متر مربع، غلظت کلرید سدیم ۱۸۷ گرم بر لیتر و نوع الکترود آند پلاتین/تیتانیوم و الکترود کاتد استیل ۳۱۶ است که مقدار کلر ۶۵/۹۵ گرم بر لیتر با درجه مطلوبیت ۰/۹۷ به دست آمد.

## بحث و نتیجه‌گیری

نتایج تحلیل واریانس نشان می‌دهد تأثیر هر چهار پارامتر زمان الکترولیز، دانسیته جریان، غلظت کلرید سدیم و نوع الکترود فرایند تولید کلر فعال مؤثر و معنی‌دار است. با توجه به مطالعات



شکل ۷: تأثیر زمان فرایند الکترولیز و دانسیته جریان بر مقدار تولید کلر فعال؛ الکترود آند پلاتین/تیتانیوم، غلظت الکترولیز نمک طعام ۱۵۰ گرم بر لیتر و کاتد استیل ۳۱۶

## اثر زمان الکترولیز

تأثیر این پارامتر در جدول تحلیل واریانس یک طرفه (جدول ۴) معنی‌دار گزارش شده است. این رابطه مستقیم بین زمان الکترولیز و راندمان فرایند الکتروشیمیایی در سایر مطالعات نیز به دست آمده است [۱۲]. با توجه به نتایج نشان داده شده در جدول ۳، در شرایط میانگین سایر پارامترها با افزایش زمان فرایند الکترولیز در الکترود آندی تیتانیوم از ۵ به ۱۲۰ دقیقه، مقدار تولید کلر نیز ۳/۵ برابر افزایش یافت. این در حالی بود که در الکترود آندی پلاتین/تیتانیوم این افزایش ۳/۴ برابر است. شکل ۷ نشان‌دهنده تأثیر زمان فرایند الکترولیز و مقدار دانسیته جریان بر مقدار تولید کلر فعال است.

## اثر نوع الکترود آند

در این تحقیق میزان تولید کلر در دو نوع الکترود آندی تیتانیومی و پلاتین/تیتانیوم با الکترود کاتدی استیل ۳۱۶ مقایسه و بررسی شد. نتایج جدول تحلیل واریانس یک طرفه (جدول ۴) تأثیر این پارامتر را معنی‌دار نشان داد، به‌طوری که در شکل ۸

### فرایند الکتروشیمیایی در سایر مطالعات نیز به دست آمده است [۳۲]. اثر غلظت اولیه الکتروولیت نمک طعام

در بیشتر مطالعات الکتروشیمیایی با افزایش مقدار غلظت الکتروولیت، میزان فرایند الکتروشیمیایی با شدت بیشتری انجام می‌شود [۱۲,۳۴]. نتایج نشان داد در شرایط میانگین سایر پارامترها با افزایش غلظت الکتروولیت نمک طعام در الکترود آندی تیتانیوم از ۵۰ به ۲۵۰ گرم بر لیتر، مقدار تولید کلر نیز ۲/۶ برابر افزایش یافت. این در حالی بود که در الکترود آندی پلاتین/تیتانیوم این افزایش ۱/۸ برابر است. این نتایج منطبق بر نتایج سایر تحقیقات است. به طوری که رابطه مسقیم بین این پارامتر و راندمان فرایند الکتروشیمیایی در سایر مطالعات نیز به دست آمده است [۱۲,۳۶].

### اثر زمان الکتروولیز

در بیشتر مطالعات با زمان الکتروولیز، میزان فرایند با سرعت و شدت بیشتری انجام می‌شود [۱۲,۳۷]. تأثیر این پارامتر در جدول تحلیل واریانس یک طرفه (جدول ۴) معنی‌دار گزارش شده است. با توجه به نتایج به دست آمده در شرایط میانگین سایر پارامترها با افزایش زمان فرایند الکتروولیز در الکترود آندی تیتانیوم از ۵ به ۱۲۰ دقیقه، مقدار تولید کلر نیز ۳/۵ برابر افزایش یافت. این در حالی بود که در الکترود آندی پلاتین/تیتانیوم این افزایش ۳/۴ برابر است. نتایج نشان‌دهنده تأثیر مستقیم زمان فرایند الکتروولیز و مقدار دانسیته جریان بر مقدار تولید کلر فعال است. این رابطه مسقیم بین زمان الکتروولیز و راندمان فرایند الکتروشیمیایی در سایر مطالعات نیز به دست آمده است [۱۲,۳۶].

### اثر نوع الکتروود آند

به منظور افزایش راندمان فرایند الکتروشیمیایی به طور کلی تاکنون انواع مختلفی از الکترودها در تحقیقات استفاده شده است. در این تحقیق میزان تولید کلر در دو نوع الکتروود آندی تیتانیومی و پلاتین/تیتانیوم با الکتروود کاتدی استیل ۳۱۶ مقایسه و بررسی شد.

انجام شده، برای سازگاری مناسب یک مدل، ضریب همبستگی باید حداقل ۰/۸ باشد [۲۹]. مطابق نتایج ارائه شده در جدول ۴، ضریب فقدان برآش مدل (lack of fit) در جدول ۴ معنی‌دار شده که ممکن است به علت وجود برخی تغییرات سیستماتیک پیش‌بینی نشده در مدل فرضی باشد. در بسیاری از تحقیقات مشابه علت معنادار بودن ضریب فقدان برآش همین مورد بوده است. البته برخی مطالعات تعداد زیاد متغیرها و یا تعداد خیلی کم متغیرها را ذکر کرده‌اند [۳۰، ۳۱]. در مدل انتخابی تولید کلر فعال مقدار  $R^2$  معادل ۰/۹۶۸ در سازگاری مناسبی با  $R^2$  تنظیم شده با مقدار ۰/۹۴۸ است. همچنین  $R^2$  پیش‌بینی شده با مقدار ۰/۸۵ در تطابق کامل با  $R^2$  تعديل شده با مقدار ۰/۹۴ است؛ تفاوت این دو کمتر از حد مجاز ۰/۲ است. نسبت سیگنال به نویز بزرگ‌تر از ۴ نشانه مطلوبیت مدل انتخابی است. نسبت به دست آمده در این تحلیل ۳۲/۰۵ نشان‌دهنده سیگنال کافی است و این بدین معنی است که از این مدل می‌توان برای حرکت در فضای طراحی استفاده کرد.

### اثر دانسیته جریان

در بیشتر مطالعات الکتروشیمی به اثر دانسیته جریان بر فرایند انتقال جرم در الکترودها اشاره شده است [۳۲]. با توجه به قوانین الکتروولیز فارادی، مواد تولیدشده در آند متناسب با کل بار الکتریکی است که از طریق آن عبور می‌کند و این مفهوم چگالی جریان را دربرمی‌گیرد [۳۳]. نتایج این تحقیق نشان داده است تأثیر این پارامتر معنی‌دار است و با افزایش چگالی جریان در الکتروود آندی تیتانیوم از ۱۰ به ۶۰ آمپر بر دسی متر مربع، مقدار تولید کلر نیز ۲/۲ برابر افزایش یافت. این در حالی بود که در الکتروود آندی پلاتین/تیتانیوم این افزایش ۲/۱ برابر است. این نتایج مطابق بر یافته‌های سایر تحقیقات است، به طوری که در بیشتر مطالعات با افزایش دانسیته جریان، مکانیسم فرایند با سرعت و شدت بیشتری انجام می‌شود [۳۴-۳۶]. این رابطه مستقیم بین این پارامتر و راندمان

آند پلاتین/تیتانیوم و الکترود کاتد استیل ۳۱۶ است که مقدار کلر ۶۵/۹۵ گرم بر لیتر با درجه مطلوبیت ۰/۹۷ به دست آمد. شرایط بهینه بهره‌برداری ارائه شده برای حصول بهترین راندمان تولید کلر فعال نشان داد مدل BBD همراه با توابع مطلوبیت به طور قابل ملاحظه‌ای برای بهینه‌سازی طراحی آزمایش‌ها در تولید کلر فعال در فرایند الکتروشیمیایی با این الکترودها استفاده می‌شود. این در حالی است که در مقالات مشابه با الکترود روتینیوم پوشانده شده بر تیتانیوم در شرایط سطح ۲۴ سانتی متر مربع، فاصله الکترود ۰/۵ سانتی متر، دانسیته جریان ۳۵ آمپر بر دسی متر مربع، غلظت نمک طعام ۳ مولار و زمان ۲ ساعت مقدار کلر فعال ۶۵/۶۷ گرم بر لیتر به دست آمد [۱۲]. البته در بعضی تحقیقات با الکترود الماس پوشانده شده بربور (BBD) شرایط بهینه برای تولید کلر فعال اسیدی گزارش شد و در شرایط قلیایی شرایط به سمت تولید رادیکال‌های هیدروکسیل پیش می‌رود [۴۰]. با توجه به نتایج به دست آمده این روش می‌تواند به عنوان روشی مؤثر برای تولید کلر به منظور گندزدایی آب و پساب در تصفیه خانه‌ها استفاده شود و در صورت جایگزینی با سیستم‌های کلرزنی گازی، مشکلات خطرناک نشت گاز یا خطر انفجار کپسول‌های گاز کلر نیز مرتفع می‌شود.

### قدرتانی

این تحقیق در قالب طرح پژوهشی با عنوان «بررسی عوامل مؤثر بر کارایی الکتروکلریناسیون با الکترودهای مختلف در تولید کلر جهت گندزدایی آب» با کد ۹۴۰۶۰۳۱۳۱ مصوب معاونت تحقیقات و فناوری دانشگاه علوم پزشکی گلستان و کد اخلاقی IR.GOUMS.۱۳۹۴.۱۵۷ انجام شده است. نویسنده‌گان از همکاری و حمایت آن معاونت کمال تشکر و قدردانی را دارند.

نتایج نشان داده است تأثیر این پارامتر معنی‌دار است؛ به طوری که الکترودهای آندی پلاتین/تیتانیوم با ۳۱ گرم بر لیتر، راندمان بیشتری (حدود ۶ درصد) نسبت به الکترودهای آندی تیتانیومی با مقدار کلر فعال ۲۵ گرم بر لیتر نشان دادند. پلاتین فلز متداول استفاده شده در آندهاست. در آند پلاتین یک فیلم نازک رسانا به صورت چند لایه اتمی ضخیم روی سطح فلز است که به خودی خود هم رسانا و هم بدون واکنش است. الکترود پلاتین در برابر انحلال مقاومت دارد که این نه تنها به دلیل جایگاه آن در سری گالوانیکی به عنوان یک فلز نجیب است، بلکه به این دلیل است که یک فیلم سطح نازک رسانای کنش‌پذیر را تشکیل می‌دهد؛ به طوری که سرعت انحلال آند پلاتین در آب دریا حدود  $2 \times 10^{-9}$  (کیلو گرم/کیلو آمپر ساعت) است.

قیمت زیاد پلاتین در ترکیب با نرخ بسیار کم آن در پوشش منجر شده است در درجه اول به عنوان یک فیلم نازک آبکاری روی فلزات ارزان‌تر استفاده شود. مقرنون به صرفه‌ترین ترکیب مؤثر اعمال شده با پلاتین، تیتانیوم بوده است [۳۸]. مطالعات بیشتری در خصوص سنتز نانوذرات پلاتین روی تیتانیوم انجام شده است که سبب افزایش فعالیت الکتروشیمیایی و پایداری بیشتر الکترودها در محیط خورنده شد [۹]. از طرفی رابطه بین نوع الکترود و راندمان فرایند الکتروشیمیایی در سایر مطالعات نیز به دست آمده است [۳۴، ۳۹]. به طوری که در مقایسه بعضی از فرایندهای الکتروکسیداسیون الکترودهای ترکیب با الماس راندمان‌های بیشتری نسبت به سایر الکترودها داشتند [۳۹].

تعیین شرایط بهینه در تولید الکتروشیمیایی کلر فعال با توجه به نتایج، شرایط بهینه بهره‌برداری ارائه شده در مدل برای تولید کلر شامل زمان الکتروولیز ۱۲۰ دقیقه، دانسیته جریان ۶۰ آمپر بر دسی متر مربع، غلظت کلرید سدیم ۱۸۷ گرم بر لیتر و نوع الکترود

## References

- Delnavaz M, Ayati B, Ganjidoust H. Reaction Kinetics of Aniline Synthetic Wastewater Treatment by Moving Bed Biofilm Reactor. *Iranian Journal of Health and Environment*. 2009;2(1):76-87. (In Persian).
- Organization WH. Water, Sanitation and Hygiene Links to Health, Facts and Figures—updated November 2004. Geneva: WHO; 2004.
- Mthombeni NH, Mpenyana-Monyatsi L, Onyango MS, Momba MN. Breakthrough analysis for water disinfection using silver nanoparticles coated resin beads in fixed-bed column. *Journal of Hazardous Materials*. 2012; 217-218:133-40.
- Hou Y, Chu W, Ma M. Carbonaceous and nitrogenous disinfection by-product formation in the surface and ground water treatment plants using Yellow River as water source. *Journal of Environmental Science*. 2012; 24(7):1204-9.
- Metcalf I, Eddy H. *Wastewater engineering: treatment and reuse*; 2003.
- Xia H, Cui B, Zhou J, Zhang L, Zhang J, Guo X, et al. Synthesis and characterization of Fe 3 O 4 C Ag nanocomposites and their antibacterial performance. *Applied Surface Science*. 2011;257(22):9397-402.
- Aymonier C, Schlotterbeck U, Antonietti L, Zacharias P, Thomann R, Tiller JC, et al. Hybrids of silver nanoparticles with amphiphilic hyperbranched macromolecules exhibiting antimicrobial properties. *Chemical Communications*. 2002; 24:3018-9.
- Dadban Shahamat Y, Roshanak RK, Ali ZM, Ali B, Dariush Z. Disinfection of Effluent Using Catalytic Ozonation Process and Economical Comparison with Chlorination. *Journal of Mazandaran University of Medical Sciences*. 2016;26(140):103-14. (in Persian).
- Rasmi K, Vanithakumari S, George R, Mallika C, Mudali UK. Development and performance evaluation of nano platinum coated titanium electrode for application in nitric acid medium. *Materials Chemistry and Physics*. 2015;151:133-9.
- Pulido ME. Evaluation of an electro-disinfection technology as an alternative to chlorination of municipal wastewater effluents; 2005.
- Ghernaout D, Naceur MW, Aouabed A. On the dependence of chlorine by-products generated species formation of the electrode material and applied charge during electrochemical water treatment. *Desalination*. 2011;270(1-3):9-22.
- Khelifa A, Moulay S, Hannane F, Benslimene S, Hecini M. Application of an experimental design method to study the performance of electrochlorination cells. *Desalination*. 2004;160(1):91-8.
- Drees KP, Abbaszadegan M, Maier RM. Comparative electrochemical inactivation of bacteria and bacteriophage. *Water Research*. 2003;37(10):2291-300.
- Allen M, Soike K. Sterilization by electrohydraulic treatment. *Science*. 1966; 154(3745):155-7.
- Matsunaga T, Nakasono S, Kitajima Y, Horiguchi K. Electrochemical disinfection of bacteria in drinking water using activated carbon fibers. *Biotechnology & Bioengineering*. 1994;43(5):429-33.
- Bradford WL. *The Differences between On-Site Generated Mixed-Oxidant Solution and Sodium Hypochlorite* Albuquerque, USA: MIOX Corporation; 2011.
- Li X, Diao H, Fan F, Gu J, Ding F, Tong A. Electrochemical wastewater disinfection: Identification of its principal germicidal actions. *Journal of Environmental Engineering*. 2004;130(10):1217-21.
- Li M, Feng C, Hu W, Zhang Z, Sugiura N. Electrochemical degradation of phenol using electrodes of Ti/RuO<sub>2</sub>-Pt and Ti/IrO<sub>2</sub>-Pt. *Journal of Hazardous Materials*. 2009;162(1):455-62.
- Lin H, Ji X, Chen Q, Zhou Y, Banks CE, Wu K. Mesoporous-TiO<sub>2</sub> nanoparticles based carbon paste electrodes exhibit enhanced electrochemical sensitivity for phenols. *Electrochemistry Communications*. 2009;11(10):1990-5.
- Lipp L, Pletcher D. The preparation and characterization of tin dioxide coated titanium electrodes. *Electrochimica Acta*. 1997;42(7):1091-9.
- Corporation BV. *White's Handbook of Chlorination and Alternative Disinfectants*: Wiley; 2010.
- Choi Y, Byun S-H, Jang H-J, Kim S-E, Choi Y-j. Comparison of disinfectants for drinking water: chlorine gas vs. on-site generated chlorine. *Environmental Engineering Research*. 2022;27.
- Badruzzaman M, Oppenheimer J, Adham S, Kumar M. Innovative beneficial reuse of reverse osmosis concentrate using bipolar membrane electrodialysis and electrochlorination processes. *Journal of Membrane Science*. 2009; 326(2):392-9.
- Rasmi K, Vanithakumari S, George R, Mudali UK. Synthesis and Characterization of Nanostructured

- Platinum Coated Titanium as Electrode Material. Journal of Materials Engineering and Performance. 2014;23(5):1673-9.
25. Zambrano J, Park H, Min B. Enhancing electrochemical degradation of phenol at optimum pH condition with a Pt/Ti anode electrode. Environmental Technology. 2020; 41(24):3248-59.
26. Eaton AD, Franson MAH, Association AWW, Federation WE. Standard methods for the examination of water & wastewater: American Public Health Association; 2005.
27. Tripathi P, Srivastava VC, Kumar A. Optimization of an azo dye batch adsorption parameters using Box-Behnken design. Desalination 2009;249(3):1273-9.
28. Ferreira SLC, Bruns RE, Ferreira HS, Matos GD, David JM, Brandão GC, et al. Box-Behnken design: An alternative for the optimization of analytical methods. Analytica Chimica Acta. 2007;597(2):179-86.
29. Myers R, Montgomery D, Anderson-Cook C. Response surface methodology: process and product optimization using designed experiments. Hoboken. New Jersey: John Wiley & Sons; 2009.
30. Sadeghi-Kiakhani M, Arami M, Gharanjig K. Application of Chitosan-Dendrimer PPI Hybrid in Direct Dyes Removal: Optimization by RSM, Kinetic and Isotherm Studies. Journal of Color Science and Technology. 2013;6(4):355-368.
31. Abou Oualid H, Abdellaoui Y, Laabd M, El Ouardi M, Brahmi Y, Iazza M, et al. Eco-efficient green seaweed codium decorticatum biosorbent for textile dyes: characterization, mechanism, recyclability, and RSM optimization. ACS Omega. 2020;5(35):22192-22207.
32. Nanseu-Njiki CP, Tchamango SR, Ngom PC, Darchen A, Ngameni E. Mercury (II) removal from water by electrocoagulation using aluminium and iron electrodes. Journal of Hazardous Materials.
- 2009;168(2-3):1430-6.
33. Moosavirad SM, Hasanzadeh-Sabouei A. Removal of Cadmium from the Leaching Solution Using Electrocoagulation. Environment and Water Engineering. 2020;6(4):415-29.
34. Choi J, Shim S, Yoon J. Design and operating parameters affecting an electrochlorination system. Journal of Industrial and Engineering Chemistry. 2013;19(1):215-9.
35. López-Maldonado JT, Rivera FF, Castañeda-Zaldívar F. Numerical and experimental evaluation of the general performance in a modular electrochemical reactor and its feasibility for electro-chlorination purposes: Effect of the different electrode assembly configurations. Chemical Engineering Research and Design. 2022;177:45-55.
36. Un UT, Altay U, Koparal AS, Ogutveren UB. Complete treatment of olive mill wastewaters by electrooxidation. Chemical Engineering Journal. 2008; 139(3):445-52.
37. Moosavirad SM, Hasanzadeh-Sabouei A. Removal of Arsenic from Pregnant Leaching Solution Using Electrochemical Coagulation Method. Journal Of Metallurgical and Materials Engineering. 2021;32(2):95-114.
38. Rajeshwar K, Ibanez JG. Environmental electrochemistry: Fundamentals and applications in pollution sensors and abatement: Elsevier; 1997.
39. Ukundimana Z, Omwene PI, Gengec E, Can OT, Kobya M. Electrooxidation as post treatment of ultrafiltration effluent in a landfill leachate MBR treatment plant: Effects of BDD, Pt and DSA anode types. Electrochim Acta. 2018;286:252-63.
40. Mostafa E, Reinsberg P, Garcia-Segura S, Baltruschat H. Chlorine species evolution during electrochlorination on boron-doped diamond anodes: In-situ electrogeneration of Cl<sub>2</sub>, Cl<sub>2</sub>O and ClO<sub>2</sub>. Electrochimica Acta. 2018; 281:831-40.